

УДК 521.93; 551.590.21

**Связь чандлеровских осцилляций в движении полюса Земли с геомагнитной возмущенностью**

М. А. Нуждина

Астрономическая обсерватория Киевского университета им. Тараса Шевченко  
04053, Киев, ул. Обсерваторная, 3

*Выявлена когерентная связь между чандлеровскими вариациями движения полюса Земли ( $x, y$ ) и возмущенностью геомагнитного поля (индексы  $A_p$ ,  $aa$ ). Когерентность и фазы изменяются с течением времени на протяжении 120 лет (1870—1980). Обсуждается вопрос о возможности генерации чандлеровских осцилляций с участием геомагнитного поля и его вариаций.*

*ЗВ'ЯЗОК ЧАНДЛЕРІВСЬКИХ ОСЦИЛЛЯЦІЙ РУХУ ПОЛЮСА ЗЕМЛІ ІЗ ГЕОМАГНІТНОЮ ЗБУРЕНІСТЮ, Нуждіна М. А. — Виявлено когерентний зв'язок між чандлерівськими осциляціями руху полюса Землі ( $x, y$ ) та збуреністю геомагнітного поля (індекси  $A_p$ ,  $aa$ ). Показано, що когерентність та фази змінюються протягом 120 років (1870—1980). Дискутується питання про можливість генерації чандлерівських осциляцій за участю варіацій геомагнітного поля.*

*CONNECTION BETWEEN THE CHANDLER OSCILLATION OF THE EARTH'S POLAR MOTION AND GEOMAGNETIC ACTIVITY, by Nuzhdina M. A. — High coherency between the Chandler oscillation of the polar motion ( $x, y$ ) and geomagnetic disturbance indices ( $A_p$ ,  $aa$ ) is found. It is shown that coherency and phase changed during 120 years of observations (1870—1980). A possibility of excitation of the Chandler wobble with the participation of the geomagnetic field variations is discussed.*

**ВСТУПЛЕНИЕ**

Временная динамика движения полюса Земли (координаты полюса  $x, y$ ) может быть описана как суперпозиция трех составляющих: низкочастотной составляющей, стабильной годичной волны и чандлеровских осцилляций (ЧО).

Период ЧО оценивается в широком интервале от 433.0 до 441.21 сут [2, 10, 11, 17], что составляет 14.2—14.5 мес. Амплитуда ЧО изменяется с течением времени. Оценки средней амплитуды — 0.1610—0.1637" [11], ее значение в максимуме — примерно 0.2" [13]. Амплитуда стабильной годичной волны оценивается в 0.1" [13]. Механизм возбуждения ЧО, как и особенности временной динамики, до сих пор неясны. Предлагаются различ-

ные факторы, стимулирующие ЧО, как внутриземные (землетрясения, перемещение грунтовых вод, движения литосферы и т. д.), так и находящиеся вне твердого тела Земли (атмосферные процессы) [2, 10, 18].

В работе [18] обсуждается возможность генерирования ЧО при участии космических факторов в комплексе с квазидвухлетними (КД) и квазигодичными (КГ) вариациями магнитного поля Земли. КД- и КГ-вариации отмечены в земных и космических явлениях (температура атмосферы, общее содержание озона, интенсивность галактических космических лучей, вариации геомагнитного поля, солнечная активность и т. д.) [6]. Источник возбуждения этих колебаний находится вне Земли.

В предлагаемой работе ставится попытка выяснить, имеется ли связь между ЧО в движении полюса Земли и вариациями возмущенности геомагнитного поля (ГМП).

#### ИСПОЛЬЗУЕМЫЕ ДАННЫЕ

1) Координаты полюса Земли  $x, y$ : а) IERS 97C04 — суточные значения с 1962 по 1998 гг.; б) IERS 97C01 — данные с шагом 0.1 г. с 1846 по 1889 гг. и с шагом 0.05 г. с 1890 г. до нынешнего момента.

2) Ряды планетарных индексов геомагнитной возмущенности: а) Суточные значения планетарного  $A_p$ -индекса рассчитываются по таблице Бартельса на основе суточных значений  $K$ -индексов для 13 геомагнитных обсерваторий, расположенных в средних широтах обоих полушарий [7]. Значения  $A_p$ -индекса имеются с 1962 г.; б)  $aa$ -индекс геомагнитной возмущенности вычисляется с использованием значений  $K$ -индекса для двух антиподальных станций: Гринвич (Англия) и Мельбурн (Австралия).  $aa$ -индекс за 100 лет (1868—1967 гг.) рассчитан в работе [14] на основе косвенных данных и рекуррентных соотношений между солнечной активностью и геомагнитной возмущенностью. Это самый продолжительный ряд показателей возмущенности ГМП.

Индексы  $A_p$  и  $aa$  высоко коррелированы:  $r = 0.96$  ( $N = 384$ , 1962.0—1993.9 гг.).

Расчеты выполнены для месячных значений.

#### МЕТОДИКА ИССЛЕДОВАНИЙ И РЕЗУЛЬТАТЫ

##### А) ЧО-ДВИЖЕНИЯ ПОЛЮСА ЗЕМЛИ (КОМПОНЕНТЫ $x, y$ ) И ВАРИАЦИИ ГЕОМАГНИТНОЙ ВОЗМУЩЕННОСТИ ( $A_p$ -ИНДЕКС) ВО ВРЕМЕННОМ ИНТЕРВАЛЕ 1962.0—1993.9 гг.

Спектральный анализ реализации месячных значений  $A_p$ -индекса за период времени 1962.0—1993.9 гг., выполненный методом максимальной энтропии (ММЭ) (рис. 1), показывает наличие мощных колебаний, соответствующих 11-летнему солнечному циклу и его гармонике (100—140 и 50—70 мес), а также полугодовому (6 мес), природа которого дискуссионна [7, 12, 16]. Между этими колебаниями в интересующей нас области частот расположены более слабые КГ-, КД- и квазитрехлетние колебания.

Чтобы исследовать вариации, близкие к чандлеровским, необходимо отфильтровать мощные осцилляции с периодами, меньшими 10 и большими 30 мес. Для этого к реализации  $A_p$ -индекс применен низкочастотный фильтр Баттеруорта (BW) с периодами обрезания 300 и 900 сут и последующим вычитанием второго результата из первого, чтобы ослабить наиболее мощную низкочастотную область спектра. Отфильтрованные данные приведены затем к единому значению месячного стандарта, так как стандартные

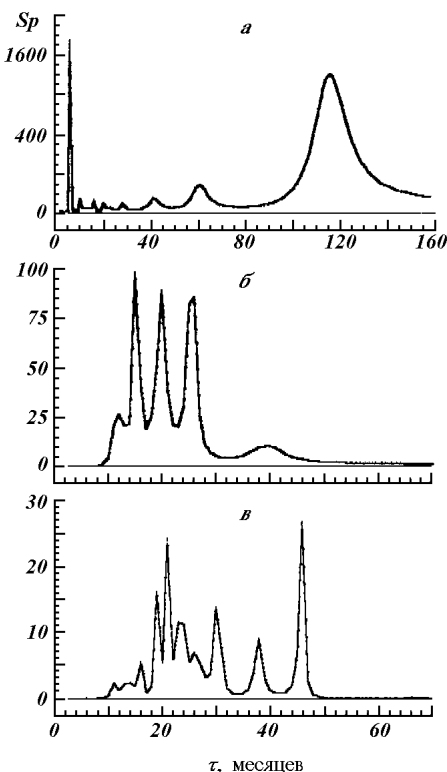


Рис. 1. Спектры индексов геомагнитной возмущенности (1962–1997 гг.): а — исходные данные  $A_p$ -индекса; б — отфильтрованные данные  $A_p$ -индекса (300–900 сут); в — отфильтрованные данные  $aa$ -индекса (300–1200 сут)

отклонения в минимумах (1964, 1976, 1986, 1996 гг.) и максимумах (1968, 1979–1980, 1989 гг.) солнечных циклов существенно различны (более чем в 2 раза). В результате получена реализация месячных стандартизованных значений  $A_p$ -индекса с 1962 по 1993 гг. Спектры ММЭ первоначальных и отфильтрованных данных  $A_p$ -индекса показаны на рис. 1, а, б. Недостатком ММЭ является то, что он не позволяет точно оценить мощность спектральных линий [12]. Но этот метод имеет и достоинства, в частности он позволяет получить тонкую структуру спектральных полос, разделить осцилляции с близкими периодами. Именно поэтому он был использован.

Отфильтрованный ряд содержит колебания с периодами 20 и 40 мес, а также КГ- (10–17 мес) и КД-циклы (26 мес). Выявленные осцилляции являются типичными для динамики геомагнитной возмущенности [4–6, 9, 12, 15].

В реализациях координат полюса Земли  $\{x, y\}$  прежде всего был удален линейный тренд. Годичный цикл исключался двумя способами.

В первом случае к реализациям центрированных значений  $x, y$  применен высокочастотный BW-фильтр с периодами обрезания 400 и 500 сут и с последующим вычитанием первого результата из второго. Как оказалось, такая фильтрация не устраняет годичный цикл полностью. На рис. 2, а, б показаны спектры ММЭ отфильтрованных рядов  $x, y$ . Кроме остатков годичной волны, в спектрах видны очень слабые полосы КД-колебания а также 30- и 40-месячные циклы (для  $x$ -составляющей).

Наличие и теснота связи между временными рядами, представляющими собой суперпозицию различных колебательных процессов + шум, оценивается по величине коэффициента корреляции, тогда как между отдельными осцилляциями, формирующими временной ряд — по величине коэффициента когерентности.

Рассчитаны корреляционные функции  $r(\tau)$  между отфильтрованными рядами  $A_p$ -индекса и компонентов  $x, y$  полярного движения. Статистическая значимость оценена с помощью z-преобразования Фишера:  $z = 0.5 \ln [(1 + r)/(1 - r)]$ ;  $\sigma_z = \sqrt{n - 3}$ ,  $n = 434$ . Максимальные значения коэффициентов корреляции для пар реализаций  $A_p, x$  и  $A_p, y$  — малы, но статистически значимы ( $r \approx 0.3, p = 99.9\%$ ). Коэффициент корреляции реализаций  $(A_p, y)$  максимальен без временного сдвига между коррелируемыми рядами; для данных  $(A_p, x)$  — со времененным сдвигом на 3–4 мес.

Чтобы проверить реальность полученных малых значений коэффициентов корреляции, рассчитаны корреляционные функции между теми же

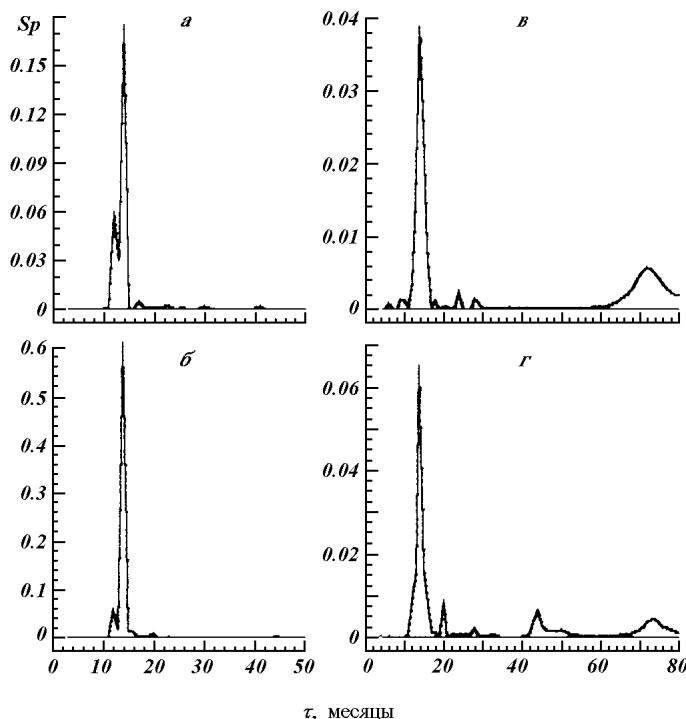


Рис. 2. Спектры ММЕ для отфильтрованных значений координат полюса Земли  $x$  ( $a, в$ ), и  $y$  ( $б, г$ ):  $a, б$  — фильтр Баттеруорта (400—500 сут);  $в, г$  — исключена годичная волна

рядами координат полюса Земли  $\{x\}$ ,  $\{y\}$  и реализацией случайных чисел, генерированных с помощью специальной программы [8]. Максимальные значения коэффициентов корреляции в этом случае не превышают 0.07,  $p < 90 \%$ .

Чтобы получить на некоторой частоте оценку связи между колебательными процессами, формирующими различные временные ряды, необходимо преобразовать временные ряды в частотные. Эта процедура выполнена с помощью быстрого преобразования Фурье (FFT) для числа членов реализации:  $N = 2^8 = 256$  мес (1975.11 — 1997.03 гг.).

Проведен кросс-спектральный анализ с вычислением функции когерентности и фазы [8] для отфильтрованных реализаций  $A_p$ -индекса и компонентов  $x$ ,  $y$  полярного движения.

В табл. 1 представлены результаты расчета функции когерентности  $q$  и фазы  $\varphi$  в зависимости от частоты  $f$  или периода  $P$ . Коэффициенты когерентности на частоте ЧО ( $P = 14.2$  мес) высоки: 0.73 для пары  $A_p$ ,  $x$  и 0.77 для пары  $A_p$ ,  $y$  и статистически значимы (см. рис. 3,  $a, б$ ).

На рис. 3 представлены спектры когерентности для  $A_p$  и координат  $x$ ,  $y$  полярного движения.

Фазовый интервал для пары  $A_p$ ,  $y$  практически отсутствует, в то время как для данных  $A_p$ ,  $x$  он близок к  $\pi/2$  (см. табл. 1). Фаза  $90^\circ$ , в случае ЧО, соответствует примерно 3.5 мес. Оценка согласуется с полученным сдвигом корреляционных функций для реализаций  $A_p$ ,  $y$  и  $A_p$ ,  $x$ .

Следует отметить также высокую когерентность рядов  $A_p$ ,  $x$  на частоте, соответствующей периоду 42.7 мес (3.5 г.):  $q = 0.93$ ,  $p = 99.9 \%$ . Реализации  $A_p$ ,  $y$  имеют высоко согласованные колебания на частоте КД-цикла ( $P = 28.4$  мес,  $q = 0.76$ , достоверность оценки 99 %). 3.5-летний и КД-циклы отмечены в данных геомагнитной возмущенности, а также в реализациях

Таблица 1. Оценки когерентности  $q$  и фазы  $\varphi$  для реализаций  $A_p$ -индекса и компонентов  $x$ ,  $y$  полярного движения (1975.11 — 1997.03 гг.). Данные предварительно отфильтрованы BW-фильтром

$f$ , 1/мес	P, мес	$(A_p, x)$		$(A_p, y)$	
		$q$	$\varphi$ , град	$q$	$\varphi$ , град
0.000	>85.3	0.93	-88	0.74	58
0.012	85.3	0.63	-18	0.51	2
0.023	42.7	0.90	-44	0.16	-48
0.035	28.4	0.23	-80	0.76	54
0.047	21.3	0.42	61	0.33	82
0.059	17.1	0.23	-27	0.18	-45
0.070	14.2	0.73	88	0.77	-4
0.082	12.2	0.51	-50	0.43	44
0.094	10.7	0.59	0	0.64	64

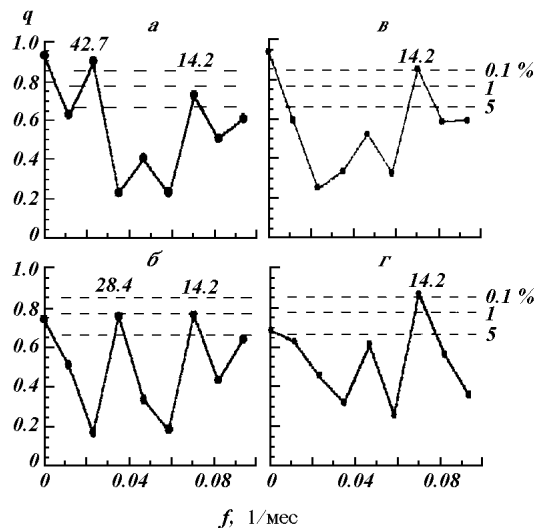


Fig. 3. Спектры когерентности для индексов геомагнитной возмущенности  $A_p$ ,  $aa$  и чандлеровских компонентов  $x$  ( $a$ ,  $aa$ ) и  $y$  ( $b$ ,  $bb$ );  $a$ ,  $b$  — ряды  $x$ ,  $y$  отфильтрованы BW-фильтром (400—500 сут);  $A_p$  — BW-фильтром (300—900 сут);  $aa$ ,  $bb$  — исключена годичная волна; ряды  $aa$ -индекса отфильтрованы BW-фильтром (300—1200 сут). Указаны уровни статистической значимости оценок: 5 %, 1 %, 0.1 %

$x$ ,  $y$  (см. рис. 1, 2). По всей видимости, это колебания, осуществляющие амплитудную модуляцию ЧО.

#### Б) ОСОБЕННОСТИ СВЯЗИ ЧО В ДВИЖЕНИИ ПОЛЮСА ЗЕМЛИ С ГЕОМАГНИТНОЙ ВОЗМУЩЕННОСТЬЮ ( $aa$ -ИНДЕКС) ЗА 100 ЛЕТ: 1868—1997 гг.

Использованы следующие массивы данных координат  $x$ ,  $y$  полюса с 1846 по 1998 гг. (EOP C097) и значения  $aa$ -индекса геомагнитной возмущенности с 1868 по 1993 гг.

Тренд в реализациях  $\{x, y\}$  был аппроксимирован как квазилинейный с разными коэффициентами во временные интервалы 1846—1909, 1910—1939, 1940—1998 гг. и исключен.

Стабильная во времени годичная волна была рассчитана методом статистического периодограмм-анализа [3] и вычтена из отклонений от тренда значений  $x$ ,  $y$ . Годичная волна максимальна в августе — сентябре для  $x$ -координаты, в мае — июне — для  $y$ -координаты. Минимальна — в феврале и ноябре — декабре для  $x$ - и  $y$ -координат соответственно. Амплитуды годичной волны близки к 0.08 и 0.07" для  $x$  и  $y$ -компонентов.

В результате получены реализации месячных значений чандлеровских компонентов  $x$ ,  $y$  движения полюса Земли с 1846.01 по 1998.07 гг. (рис. 4). Наиболее характерной деталью ЧО на протяжении 150 лет является

Рис. 4. Временная динамика ЧО (1846.01—1998.07)

наличие глубокого минимума в 1930-х — начале 1940-х гг., когда амплитуда ЧО уменьшается до  $0.001''$ . По обе стороны этой ложбиной наблюдаются максимумы вблизи 1910 г. и в начале 1950-х гг. Амплитуда осцилляций в максимуме достигает  $0.37''$  для компонента  $x$  и  $0.29''$  — для компонента  $y$ . Максимумы с меньшими амплитудами отмечены в конце 1980-х — начале 1990-х гг. (до  $0.25''$ ).

На рис. 4 представлен также временной ряд месячных отклонений от трендовой составляющей для  $aa$ -индекса геомагнитной возмущенности. Тренд (за 130 лет наблюдений: 1868—1997 гг.) был аппроксимирован как линейный и исключен. Затем данные были стандартизированы, так как средние квадратичные отклонения вблизи эпох максимумов 11-летних солнечных циклов более чем в 2.5 раза превышают стандартные отклонения для эпох минимумов.

К полученной реализации центрированных стандартизованных значений  $aa$ -индекса применен низкочастотный BW-фильтр с точками отсечения 300 и 1200 сут (10 и 40 мес), чтобы отфильтровать мощные солнечно-обусловленные осцилляции и полугодовой период.

Важным свойством геомагнитной возмущенности является пространственная и временная нестационарность. Пространственная изменчивость выявляется, когда мы рассматриваем локальную геомагнитную возмущенность: амплитуды возмущений увеличиваются с увеличением геомагнитной широты и максимальны вблизи расположения глобальных аномалий постоянного магнитного поля Земли [6, 7, 9].

Временная изменчивость проявляется в случае длинных рядов и заключается в том, что периоды и амплитуды осцилляций, составляющих ряд геомагнитных индексов, а также их спектры мощности изменяются со временем.

Трехмерная диаграмма спектральной плотности  $\lg(Sp_{aa})$  для геомагнитного  $aa$ -индекса представлена на рис. 5 в зависимости от времени  $T$  и периода осцилляций  $P$ . Плотности спектров мощности рассчитаны с использованием

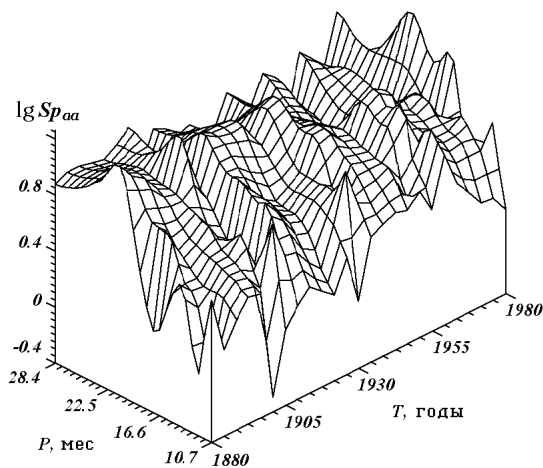
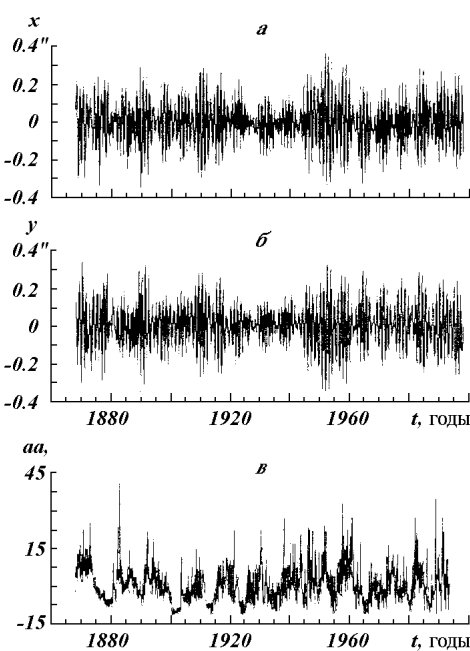


Рис. 5. Динамика спектра мощности для  $aa$ -индекса

**Таблица 2. Оценки когерентности  $q$  и фазы  $\varphi$  для индекса геомагнитной возмущенности  $aa$  и чандлеровских компонентов  $x$ ,  $y$  полярного движения (1963—1993 гг.)**

$f$ , 1/мес	P, мес	(aa, x)		(aa, y)	
		q	$\varphi$ , град	q	$\varphi$ , град
0.000	>85.3	0.94	70	0.68	82
0.012	85.3	0.59	9	0.63	89
0.023	42.7	0.25	33	0.45	-11
0.035	28.4	0.33	22	0.31	-69
0.047	21.3	0.52	-59	0.61	49
0.059	17.1	0.32	-27	0.25	68
0.070	14.2	0.86	-49	0.87	40
0.082	12.2	0.59	19	0.56	-66
0.094	10.7	0.60	-43	0.35	-33

FFT [8]; уровни статистической значимости — по  $\chi^2$ -распределению. Значения  $\lg(Sp_{aa}) \geq 0.96$  достоверны на уровне 99 %; значения  $\lg(Sp_{aa}) \geq 0.68$  — на уровне 95 %.

КД-цикл статистически значим ( $P \geq 99$  %) на протяжении 100 лет наблюдений, за исключением интервала времени 1935—1955 гг.; КГ-колебание значимо в периоды 1910—1915, 1934—1955, 1965—1970 гг.

Спектры ММЭ для чандлеровских компонентов  $x$ ,  $y$  за период времени 1962—1997 гг. представлены на рис. 2, в, г. Сравнение рис. 2, а и в, а также 2, б и д показывает, что вычисление годичных волн и последующее вычитание их из исходных реализаций  $\{x\}$ ,  $\{y\}$  более эффективно для устранения годичного колебания, чем BW-фильтр; при этом существенно уменьшается изменчивость оставшегося ряда (масштаб по оси  $y$ ), более заметными становятся низкочастотные вариации ( $P = 20, 30, 40$ —50 и 60—80 мес).

Спектры ММЭ реализации  $aa$ -индекса для временного интервала 1962—1997.6 гг. показаны на рис. 1, в. Видны полосы КГ, КД-циклов, а также колебания с периодами 30, 38 и 45 мес.

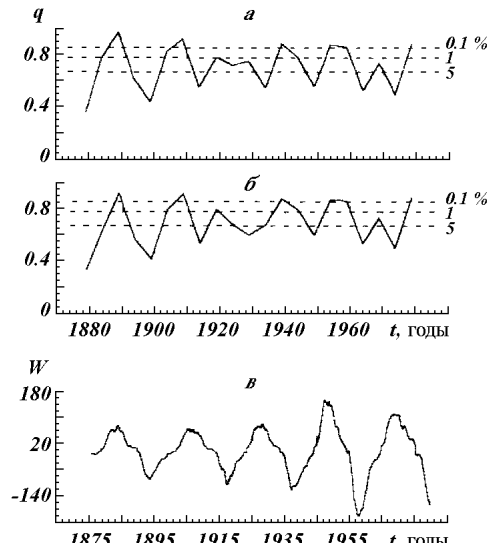
Рассчитаны функции когерентности  $q$  и фазы  $\varphi$  для отфильтрованных реализаций  $aa$ -индексов и чандлеровских  $x$ -,  $y$ -компонентов движения полюса в 1963—1993 гг. (табл. 2). Фазы для реализаций  $aa$ ,  $y$  и  $aa$ ,  $x$  таковы, что их разность близка к  $90^\circ$ . Это совпадает с результатом, полученным для рядов  $x$ ,  $y$  и  $A_p$ -индекса (см. табл. 1).

Спектры когерентности  $q(\varphi)$  для данных  $aa$  и компонентов  $x$ ,  $y$  полярного движения представлены на рис. 3, в, г. Когерентность рядов на чандлеровской частоте (14.2 мес) высока (около 0.9) и имеет очень высокую статистическую значимость ( $p > 99$  %).

Исследована времененная динамика когерентности и фазы между ЧО в движении полюса Земли и геомагнитной возмущенностью на протяжении 125 лет (1868—1993 гг.). Расчеты проводились от начала рядов ( $aa$ ,  $x$ ,  $y$ ) и до конца внутри малых интервалов времени (256 мес) — со сдвигом на 60 мес (5 лет) для получения следующего временного интервала и следующих оценок  $q$  и  $\varphi$ . В результате получено 21 значение функции когерентности и фазы для пар реализаций ( $aa$ ,  $x$ ), ( $aa$ ,  $y$ ) — рис. 6, а, б.

На протяжении 100 лет когерентность не является стабильной. Ее максимумы ( $q = 0.80$ ...0.97) отмечены во временных интервалах с центрами вблизи лет: 1890, 1910, 1940, 1955—1960, 1980 гг. В чередовании высокой и низкой когерентности наблюдается цикл, близкий к 20—22 гг.; исключение составляет период времени с центром в 1930-е гг., когда произошел фазовый сдвиг в цикличности когерентности.

Рис. 6. Временная динамика когерентности геомагнитных  $aa$ -индексов и чандлеровских компонентов движения полюса Земли в сопоставлении с 22-летними (магнитными) циклами солнечной активности:  $a$  — когерентность между  $aa$  и  $x$ ;  $b$  — когерентность между  $aa$  и  $y$ ;  $v$  — числа Вольфа в 22-летнем цикле. Ряд  $W$  сдвинут во времени на 5 лет назад



Многолетняя динамика когерентности между геомагнитной возмущенностью (индекс  $aa$ ) и чандлеровскими компонентами  $x$ ,  $y$  движения полюса Земли соответствует динамике 22-летних, или магнитных циклов солнечной активности (рис. 6,  $a$ ). Вблизи 1930-х гг., когда амплитуда ЧО минимальна (рис. 4), наблюдается фазовый сбой и нарушение соответствия динамики когерентности и 22-летних солнечных циклов.

22-летний солнечный цикл начинается четным, по Цюрихской классификации, 11-летним циклом [1]. Из трех солнечно-обусловленных колебаний (11, 5—6 лет, 22 г.) в реализациях геомагнитной возмущенности наибольшую амплитуду и значимость имеет именно 22-летний, в то время как в ряду чисел Вольфа — 11-летний [4, 5]. 22-летний цикл соответствует перемене знака общего магнитного поля Солнца, которое определяет состояние межпланетной среды. В свою очередь, состояние межпланетного магнитного поля играет важную роль в передаче возмущения из космоса земному магнитному полю и его ядру. Пока не ясно, почему в 1930-е гг. в эпоху минимума ЧО произошел фазовый сбой в циклической связи между геомагнитной возмущенностью и чандлеровскими компонентами движения полюса Земли. Вероятно, проблема генерации ЧО должна рассматриваться в комплексе с особенностями межпланетного магнитного поля и состоянием ГМП.

Фазовые интервалы для  $aa$ -индекса и ЧО полярного движения Земли изменяются со временем, сохраняя при этом постоянство разности фаз для данных  $aa$ ,  $x$  и  $aa$ ,  $y$ . Эта разность близка к  $\pi/2$ , что составляет примерно 3.5 г.

## ВЫВОДЫ

Проведенное исследование позволяет сделать следующие выводы:

1. Между ЧО в движении полюса Земли  $x$ ,  $y$  и индексами геомагнитной возмущенности  $A_p$ ,  $aa$  имеется слабая ( $r \approx 0.3$ ), но статистически значимая корреляционная связь.
2. ЧО движения полюса Земли  $x$ ,  $y$  когерентны с вариациями индексов геомагнитной возмущенности  $A_p$ ,  $aa$  — ( $q \approx 0.8...0.9$ ).
3. Функции корреляционной связи и когерентности на частоте ЧО между индексами геомагнитной возмущенности  $A_p$ ,  $aa$  и компонентами  $x$ ,  $y$  полярного движения Земли (1962—1993 гг.) имеют фазовый сдвиг. Его величина составляет  $\pi/2$ , или примерно 3.5 мес.
4. Когерентность между возмущенностью магнитного поля Земли и

чандлеровскими компонентами  $x$ ,  $y$  в движении полюса Земли, изменяется со временем на протяжении 100 лет (1880—1980 гг.).

5. Изменения когерентности между индексами геомагнитной возмущенности  $aa$  и чандлеровскими компонентами  $x$ ,  $y$  полярного движения за 100 лет (1870—1990 гг.) подобны динамике 22-летних (магнитных) циклов солнечной активности. Вариации идут в фазе с 1880 по 1915 гг. и в противофазе — с 1930 г. до конца рядов.

6. Проблему возбуждения ЧО в движении полюса Земли, по нашему мнению, нужно рассматривать в комплексе с особенностями геомагнитного поля и его вариациями, состоянием межпланетного магнитного поля, а также общего магнитного поля Солнца.

1. Витинский Ю. И. Цикличность и прогнозы солнечной активности. — Л.: Наука, 1973.—257 с.
2. Движение полюсов и неравномерность вращения Земли. — М., 1976.—102 с.—(Итоги науки и техники. Сер. Астрономия; Т. 12).
3. Дорман Л. И. Экспериментальные и теоретические основы астрофизики космических лучей. — М.: Наука, 1975.—464 с.
4. Нуждина М. А. Квазидвухлетние вариации в индексах геомагнитной и солнечной активности // Геомагнетизм и аэрономия.—1986.—26, № 5.—С. 789—791.
5. Нуждина М. А. Квазидвухлетние и квазигодичные осцилляции в солнечной и геомагнитной активности // Солнеч. данные.—1992.—№ 10.—С. 80—85.
6. Нуждина М. Квазидвухлетние вариации в природных процессах: Дис. ... канд. физ.-мат. наук. — Киев, 1995.—305 с.—Машинопись.
7. Оль А. И. Проявления солнечной активности в магнитосфере и ионосфере Земли // Влияние солнечной активности на атмосферу и биосферу Земли. — М.: Наука, 1970.—С. 104—118.
8. Отнес Р., Эноксон Л. Прикладной анализ временных рядов. — М.: Мир, 1980.—428 с.
9. Ривин Ю. Р. Циклы Земли и Солнца — М.: Мир, 1989.—165 с.
10. Яцкiv Я. С. Изучение вращения Земли — комплексная проблема геодинамики // Геодинамика и астрометрия: Сб. статей, посвященный 100-летию со дня рождения А. Я. Орлова. — Киев: Наук. думка, 1980.—С. 63—73.
11. Brzezinski A., Petrow S. An analyses of the new long polar motion series: Estimations of the Chandler wobble parameters // Int. Symp. An Interdisciplinary Approach to Earth System Science. XXI IUGG General Assembly, Boulder, Colorado, USA, Jul 2—14, 1995.
12. Kane R. Quasi-biennial and quasi-triennial oscillations in geomagnetic activity indices // Ann. Geophys.—1997.—15.—P. 1580—1594.
13. Kosek W., Kolaczek B. Semi-Chandler and semi-annual oscillations of polar motion // Geophys. Res. Lett.—1997.—24, N 17.—P. 2235—2238.
14. Mayaud P. The aa-index: a 100-years series characterizing the magnetic activity // Geophys. Res. Lett.—1972.—77, N 4.—P. 6870—6874.
15. Rangarajan G., Iemory T. Time variations of geomagnetic activity indices  $K_p$  and  $A_p$  an update // Ann. Geophysicae.—1997.—15.—P. 1271—1290.
16. Schreiber H. On the periodic variations of geomagnetic activity indices  $A_p$  and  $a_p$  // Ann. Geophysicae.—1998.—16.—P. 510—517.
17. Vicente R., Willson C. On the variability of the Chandler frequency // J. Geophys. Res.—1997.—102, N 89.—P. 20439—20445.
18. Yatskiv Ya. On the excitation of the Chandler wobble // Kinematics and Physics of Celestial Bodies.—1997.—13, N 5.—P. 37—42.

Поступила в редакцию 27.11.98